

©1994 г.

ПРОВОДИМОСТЬ И ОПТИЧЕСКИЕ СВОЙСТВА ПЕРИОДИЧЕСКИХ СТРУКТУР $a\text{-Si:H}/a\text{-SiN}_x\text{:H}$

*Д.И.Биленко, Ю.Н.Галишникова, Э.А.Жаркова,
О.Ю.Колдобанова, Е.И.Хасина*

Научно-исследовательский институт механики и физики
при Саратовском государственном университете им. Н.Г.Чернышевского,
410071, Саратов, Россия

(Получена 12 мая 1994 г. Принята к печати 6 июня 1994 г.)

Сообщаются результаты исследования проводимости и оптических свойств периодических структур $a\text{-Si:H}/a\text{-SiN}_x\text{:H}$ и отдельных слоев как в процессе роста, так и после изготовления. Установлено влияние состава слоев в структурах и их толщины на процесс легирования переносом, выбраны условия для получения структур с минимальной плотностью состояний в $a\text{-Si:H}$ и высокой проводимостью. Обнаруженная зависимость оптических свойств структур от толщины слоев описывается на основе модели квантовых ям.

Многослойные периодические структуры $a\text{-Si:H}/a\text{-SiN}_x\text{:H}$ привлекают внимание сочетанием необычных свойств, таких как квантово-размерные эффекты и легирование переносом, а также перспективностью их практического применения [1–4]. Проведенные ранее исследования периодических структур $a\text{-Si:H}/a\text{-SiN}_x\text{:H}$ непосредственно в процессе изготовления [5] позволили подтвердить модельное описание эффекта легирования переносом в таких структурах и показать возможность прогнозирования величины сопротивления растущей структуры.

В настоящей работе сообщаются результаты исследования проводимости и оптических свойств структур и отдельных слоев как в процессе роста, так и после их изготовления с целью изучения влияния различных факторов на эффект легирования переносом и выяснения возможности получения структур с заданными свойствами.

Структуры были получены на установке плазмохимического осаждения при контроле оптических свойств и сопротивления *in situ*. Толщины слоев $a\text{-Si:H}$ и $a\text{-SiN}_x\text{:H}$ варьировались в диапазонах $(15 \div 1000) \text{ \AA}$ и $(25 \div 50) \text{ \AA}$ соответственно. В качестве подложек использовались пластины оксидированного кремния и кварца с гребенчатыми электродами из напыленного хрома. Слои $a\text{-SiN}_x\text{:H}$ наносились при соотношении газовых потоков аммиака и силана в реакторе $\eta = C_{\text{NH}_3}/C_{\text{SiH}_4}$, варьируемом от 4 до 10.

Толщина слоев определялась интерферометрическим и эллипсометрическим методами в процессе роста и затем подтверждалась данными рентгеноструктурного анализа по методу полного внешнего отражения. Этот метод позволил на готовых структурах определить период (сумма толщин слоя $a\text{-SiH}$ и слоя $a\text{-SiN}_x\text{:H}$) и дал совпадение в пределах $\pm 5\%$ с данными измерений *in situ* при периоде сверхрешетки $\sim 80 \text{ \AA}$. Измерение сопротивления в плоскости слоев проводилось в процессе роста при выключении высокочастотного генератора в промежутках времени между нанесением слоев. По зависимости сопротивления структуры R от числа пар слоев M , используя модель проводимости, основанную на учете легирования переносом, и рекурентное соотношение, связывающее сопротивление структуры с сопротивлениями слоев $a\text{-Si:H}$ и $a\text{-SiN}_x\text{:H}$ [5], находились параметры структуры: потенциальный барьер на границе с подложкой $e\varphi_0$, проводимость структуры с бесконечно большим числом пар σ_0 , сопротивление прослоек нитрида R_N и эффективная толщина слоя обеднения в нитриде кремния x_N .

Исследовались оптические и фотоэлектрические свойства полученных структур при комнатной температуре. По данным пропускания и отражения в диапазоне длин волн от 0.2 до 25 мкм рассчитывались спектральные зависимости показателей преломления n_s и поглощения κ_s слоев $a\text{-Si:H}$ в сверхрешетках прямым методом оптимизации [6]. Концентрации связей Si:H, Si:H₂, NH, SiO, SiN в слоях $a\text{-Si:H}$ и $a\text{-SiN}_x\text{:H}$ определялись по интегральной интенсивности соответствующих полос поглощения в диапазоне инфракрасного (ИК) излучения с учетом интегральных коэффициентов поглощения согласно данным работы [7] и с помощью соответствующей нормировки относительно интегральной интенсивности полосы поглощения в стехиометрическом нитриде кремния [6,8]. Используемая методика определения коэффициента поглощения в ИК полосах не позволяла определять состав слоев $a\text{-SiN}_x\text{:H}$ в периодических структурах (ПС), так как суммарная толщина была менее 0.1 мкм. В этом случае концентрация связей SiN, SiH, NH оценивалась по измерениям на однородных слоях, полученных при тех же технологических условиях.

Особенности зонной структуры $a\text{-Si:H}$ в ПС — оптическая ширина запрещенной зоны E_g , размытие краев зон (параметр Урбаха) E_0 , коэффициент отражения в максимуме фундаментальной полосы поглощения R_{\max} — рассчитывались по спектральным зависимостям $n_s(\lambda)$, $\kappa_s(\lambda)$. Значения E_g и E_0 определялись по зависимости, характеризующей связь коэффициента поглощения α с энергией $h\omega$ в области края поглощения при параболической структуре зоны [9,10], $\alpha h\omega = B(h\omega - E_g)^2$ или по кусочно-линейной зависимости [11]

$$\alpha h\omega = \sum_n [h\omega - E_n] U(h\omega - E_n),$$

где U — ступенчатая функция, E_n — квантованные значения энергии в сверхрешетках. Адекватность описания экспериментальных данных параболической или линейной зависимостями α от $h\omega$ определялась сопоставлением расчетных и экспериментальных данных. Установлено, что при толщинах слоев $a\text{-Si:H}$ (d_s) меньше 50 \AA адекватной является линейная зависимость, а при $d_s > 50 \text{ \AA}$ — параболическая.

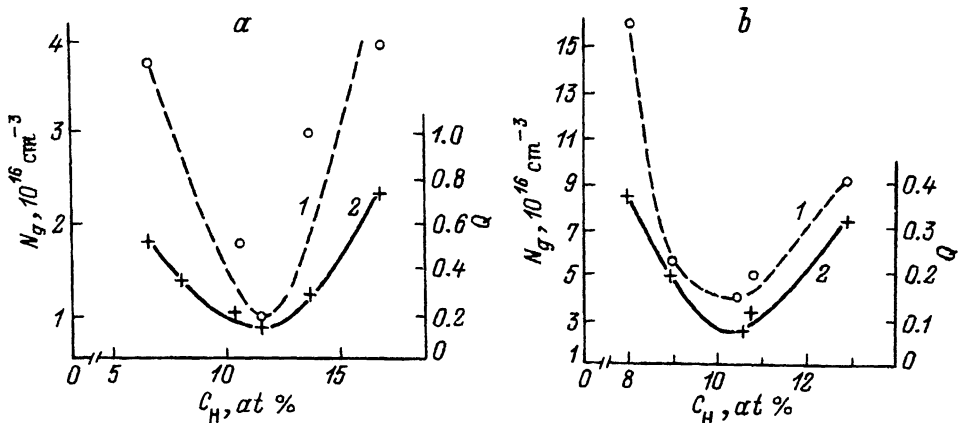


Рис. 1. Зависимость плотности состояний в щели подвижности N_g (1) и остаточной фотопроводимости Q (2) от концентрации водорода в слоях $a\text{-Si:H}$:
а — в структурах $a\text{-Si:H}/a\text{-SiN}_x\text{:H}$, б — в однородных слоях.

На готовых структурах определялись также остаточная фотопроводимость и плотность состояний в щели подвижности $a\text{-Si:H}$. Образцы имели контакты из Al и Ni, последовательно напыленные в виде гребенки поверх слоев или в специально созданных прорезях, проходящих через всю структуру. Как мера остаточной фотопроводимости (ОФП) использована величина $Q = (\sigma_{dph}/\sigma_{d0} - 1)$, в которой σ_{d0} — темновая проводимость перед фотовозбуждением, σ_{dph} — темновая проводимость после фотовозбуждения при достижении долговременного стабильного значения [12]. Использовался источник фотовозбуждающего излучения типа АМ-1. Плотность состояний в щели подвижности $a\text{-Si:H}$ определялась по поглощению в «дефектной» области, измеренному методом постоянного фототока [13].

Проведенные исследования готовых структур и в процессе их изготовления позволяли установить следующее:

1. Слои $a\text{-Si:H}$ в структурах $a\text{-Si:H}/a\text{-SiN}_x\text{:H}$ можно характеризовать плотностью состояний в щели подвижности вблизи валентной зоны N_g и остаточной фотопроводимостью, которая связана с концентрацией глубоких ловушек. Зависимости N_g и Q от общего содержания водорода C_H в слоях $a\text{-Si:H}$ в ПС и в отдельных толстых слоях ($d_s = 300 \text{ \AA}$) подобны (рис. 1). Минимальные значения N_g и Q достигаются при близких значениях $C_H \approx (10 \div 11)\%$ в однородных слоях и $(11 \div 12)\%$ в структурах. При этом плотность состояний и остаточная фотопроводимость ПС превышают в 2–4 раза соответствующие значения N_g и Q однородных слоев при одинаковом содержании водорода в слоях $a\text{-Si:H}$ (рис. 1). Этот результат, по-видимому, связан с влиянием границ раздела $a\text{-Si:H}/a\text{-SiN}_x\text{:H}$ на свойства ПС. Так, при одинаковых суммарной толщине слоев $a\text{-Si:H}$ в периодических структурах и толщине однородного слоя содержание водорода C_H в первых превышает соответствующее значение C_H у однородного слоя на $(1 \div 6)\text{ at\%}$, при этом по мере приближения к значениям C_H , соответствующим минимумам N_g и Q , различие в содержание водорода уменьшается. Полученные зависимости наблюдались в структурах со слоями $a\text{-Si:H}$ толщиной 300 \AA и более.

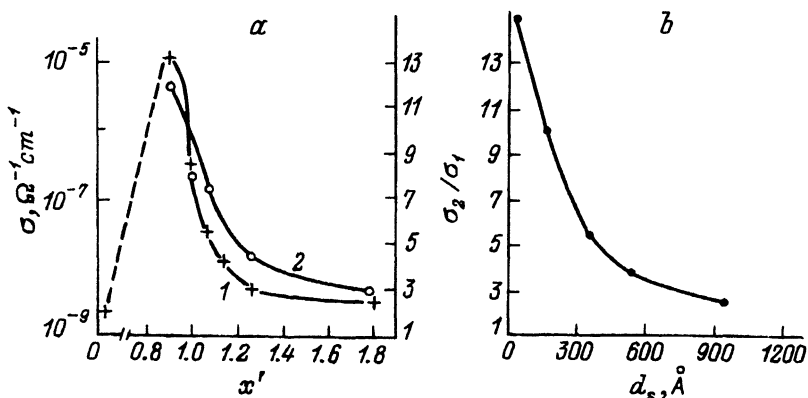


Рис. 2. Зависимость проводимости σ структуры при комнатной температуре (1) и отношения проводимостей σ_2/σ_1 , измеренных *in situ* (2), от соотношения x' в $a\text{-SiN}_x\text{:H}$ (а) и зависимость σ_2/σ_1 от толщины слоя $a\text{-Si:H}$ d_s , (б), а — толщины слоев: $d_s = 300 \text{ \AA}$, $d_N = 50 \text{ \AA}$; б — $\eta \approx 4$.

Ранее [14] была установлена связь между контролируемыми *in situ* свойствами слоев $a\text{-Si:H}$ — показателями преломления n_{is} , поглощения κ_{is} и скоростью осаждения v_s — с технологическими факторами, с одной стороны, и со свойствами готовых слоев $a\text{-Si:H}$, с другой, в частности с плотностью состояний в щели подвижности N_g и величиной фотопроводимости. Было установлено, что существует область значений n_{is} , κ_{is} , v_s : $n_{is} \approx (3.95 \div 4.2)$, $\kappa_{is} \approx (0.1 \div 0.15)$, $v_s \approx (3 \div 5.5) \text{ \AA/c}$, в которой достигается оптимум свойств готовых слоев $a\text{-Si:H}$ (минимум N_g и максимальное отношение фотопроводимостей σ_{ph}/σ_d). Эти результаты были использованы при выборе технологических условий получения слоев $a\text{-Si:H}$ в многослойных структурах.

Установлено, что технологические условия, при которых образуются слои $a\text{-Si:H}$ в ПС, обладающие минимумами N_g и Q , те же, что и оптимальные по N_g для отдельных «толстых» слоев. Несколько большая общая концентрация водорода в структурах по сравнению с СН в отдельных слоях в оптимуме определяется, по нашему мнению, накоплением водорода в интерфейсах, что согласуется с результатами работ [9, 10].

2. Эффект легирования переносом наглядно наблюдается в процессе роста структур по отношению проводимостей σ_2/σ_1 (σ_1 — значение проводимости первого слоя $a\text{-Si:H}$ после осаждения на кварцевую подложку, σ_2 — проводимость того же слоя после осаждения на него $a\text{-SiN}_x\text{:H}$). Величина эффекта существенно зависит от состава слоев нитрида кремния, в частности от величины x' — отношения концентрации связей SiN к соответствующей величине в стехиометрическом нитриде кремния. Зависимость $\sigma_2/\sigma_1(x')$ коррелирует с проводимостью готовых структур при комнатной температуре (рис. 2, а). Как видно из рис. 2, а, наибольшее легирование переносом наблюдается в ПС, имеющих слои нитрида кремния с $x' = 0.85 \div 0.9$.

Исследования нитрида кремния *in situ* (показателя преломления n_{iN} и скорости роста v_N) позволили найти режимы получения $a\text{-SiN}_x\text{:H}$ слоев заданного состава. Так, слои нитрида кремния с $x' \approx 0.85 \div 0.9$

и минимумом содержания водорода имели (при температуре роста) $n_{\text{SiN}} = 1.96 \div 2.01$ при скорости роста $v_{\text{N}} = 2 \text{ \AA/c}$, что соответствует следующим параметрам технологического процесса: $\eta = 4 \div 5$, $T = (325 \div 335)^\circ\text{C}$, $P = (15.8 \div 17) \text{ Па}$. Показано, что эти слои нитрида кремния кремниеподобны по классификации [7], что подтверждается как спектральным сдвигом полосы поглощения SiN в область более низких частот ($2120 \div 2140 \text{ cm}^{-1}$ по сравнению с частотой 2180 cm^{-1} , характерной для стехиометрического нитрида кремния [15,16]), так и меньшей величиной $E_g = 3.78 \text{ eV}$, чем у стехиометрического нитрида кремния.

3. Отношение σ_2/σ_1 существенно зависит от толщины слоя $a\text{-Si:H}$. Зависимости $\sigma_2/\sigma_1(d_s)$ были получены при различных соотношениях газовых потоков. При всех используемых соотношениях η отношение σ_2/σ_1 падает с ростом толщины слоя аморфного кремния. На рис. 2,б приведена такая зависимость для слоев, полученных в одинаковых технологических условиях. Относительное изменение проводимости квантово-размерного слоя $a\text{-Si:H}$ толщиной $\sim 30 \text{ \AA}$ в процессе легирования переносом на порядок выше, чем изменение проводимости слоя толщиной $\sim 900 \text{ \AA}$ при одинаковой толщине кремния. Однако в ПС $a\text{-Si:H}/a\text{-SiN}_x\text{:H}$ абсолютное значение сопротивления структур R с большей толщиной слоя $a\text{-Si:H}$ меньше, чем сопротивление структур с меньшей d_s , и резко падает при увеличении числа пар слоев. Этот результат согласуется с моделью легирования переносом [1,2].

4. Измерение сопротивления структур *in situ* позволяет установить влияние соседствующих интерфейсов на свойства структур. По величине отношения сопротивления структуры после осаждения предыдущего ($m - 1$) и последующего (m) слоев R_{m-1}/R_m (рис. 3) видно, что при осаждении нитрида кремния поверх слоя $a\text{-Si:H}$ (четные значения m) изменение сопротивления гораздо больше, чем при осаждении слоя $a\text{-Si:H}$ на нитрид (нечетные m). Наблюдение отрицательного заряда на границе с верхним слоем нитрида было показано на двуслойных структурах $a\text{-Si:H}/a\text{-SiN}_x\text{:H}$ в работе [17].

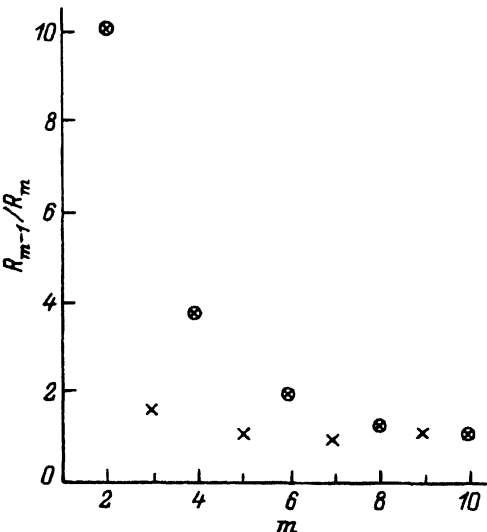


Рис. 3. Отношение сопротивлений структуры $a\text{-Si:H}/a\text{-SiN}_x\text{:H}$ при нанесении каждого последующего слоя, полученное *in situ*. Четные m относятся к структуре при нанесении $a\text{-SiN}_x\text{:H}$ поверх слоя $a\text{-Si:H}$.

5. Структуры, у которых слои $a\text{-Si:H}$ получены в условиях оптимума N_g , а слои $a\text{-SiN}_x\text{:H}$ имели $x' = 0.9$, обладали максимальной проводимостью при комнатной температуре ($2 \cdot 10^{-4} \div 5 \cdot 10^{-5}$) $\Omega^{-1} \cdot \text{см}^{-1}$, превышающей проводимость однородных слоев $a\text{-Si:H}$ такой же толщины в $10^4 \div 10^5$ раз. Плотность состояний в щели подвижности $N_g = 8 \cdot 10^{16} \text{ см}^{-3}$ в этих структурах незначительно превосходила $N_g = 4 \cdot 10^{16} \text{ см}^{-3}$ в аналогичных по режиму получения однородных толстых слоях $a\text{-Si:H}$. Структуры с высокой проводимостью при комнатной температуре отличаются от структур с меньшей проводимостью значениями параметров, определенными по измерениям *in situ*, а именно большей эффективной длиной обеднения в нитриде кремния ($x_N \approx 140 \text{ \AA}$ по сравнению со значением 60 \AA), большим сопротивлением прослоек нитрида кремния ($R_N = 1.5 \cdot 10^5 \text{ Ом}$ по сравнению с $5 \cdot 10^4 \text{ Ом}$) и большей проводимостью структуры с бесконечно большим числом пар ($\sigma_0 \simeq 2.5 \cdot 10^{-2} \text{ Ом}^{-1} \cdot \text{см}^{-1}$ по сравнению с $6 \cdot 10^{-3} \text{ Ом}^{-1} \cdot \text{см}^{-1}$). Более высокие значения x_N , R_N свидетельствуют о меньшей плотности дефектов в слоях $a\text{-SiN}_x\text{:H}$ в этих структурах.

6. Оптические свойства и параметры зонной структуры ПС — оптическая ширина запрещенной зоны E_g , параметр размытия краев зон E_0 , максимальное значение коэффициента отражения в фундаментальной полосе поглощения R_{\max} — существенно зависят от толщины слоя $a\text{-Si:H}$. Так, E_0 возрастает от $(75\text{--}80) \text{ мэВ}$ до $(110\text{--}120) \text{ мэВ}$, а R_{\max} падает от 0.5 до 0.30 при уменьшении d_s от 150 до 18 \AA , что указывает на рост разупорядоченности слоев $a\text{-Si:H}$ в структурах при уменьшении толщины.

Зависимость ширины запрещенной зоны от толщины слоя $a\text{-Si:H}$, полученная на отдельных структурах, представлена на рис. 4. По мере уменьшения d_s ширина запрещенной зоны резко возрастает. Аналогичную зависимость наблюдали авторы работы [18]. Для объяснения этих результатов рассчитывался энергетический спектр структуры с тонкими слоями на основе модели невзаимодействующих квантовых ям. Локализация электрона с массой m^* в одномерной квантовой яме глубиной V и шириной d_s увеличивает энергию основного состояния

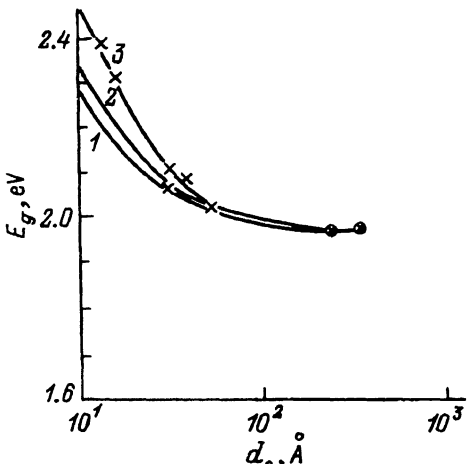


Рис. 4. Зависимость оптической ширины запрещенной зоны $a\text{-Si:H}$ E_g в периодической структуре от толщины слоя $a\text{-Si:H}$ d_s . Сплошные кривые — расчет при m^*/m_0 : 1 — 1, 2 — 0.6, 3 — 0.3. Кружками обозначены значения для однородных пленок $a\text{-Si:H}$.

электрона на величину Δ , определяемую следующим уравнением [19]:

$$\cos(kd_s/2) = k/\theta, \quad (1)$$

где $k = (2m^*\Delta)^{1/2}/\hbar$, $\theta = (2m^*V)^{1/2}/\hbar$. Использование соотношения (1) справедливо при выполнении условия $\theta d_N > 1$. В нашем случае при значениях $d_N = 50 \text{ \AA}$ и $V \simeq 1 \text{ эВ}$ это условие выполняется при значениях эффективных масс от m_0 до $0.3m_0$. Расчет зависимости E_g от толщины d_s , изменяющейся в диапазоне $(10 \div 300) \text{ \AA}$, проводился с учетом (1) для 3 значений эффективной массы (рис. 4). Потенциальный барьер V принимался равным половине разности значений оптической ширины запрещенной зоны слоев $a\text{-Si:N}_x\text{H}$ и $a\text{-Si:H}$ [20]. При этом эффективная масса электрона для большинства образцов с одинаковой толщиной диэлектрика $a\text{-SiN}_x\text{H}$ (50 \AA), но с разной толщиной $a\text{-Si:H}$ (от 18 до 37 \AA), составляла $\sim 0.3m_0$, но у отдельных образцов получены значения до $0.8m_0$. Такое различие превышает погрешность в нахождении m^* , связанную с неточностью экспериментальных значений E_g (погрешность 0.04 эВ) и d_s (погрешность 2 \AA). Рядом авторов ранее также приводились различные значения m^* : $0.3m_0$ [11], $0.6m_0$ [11] и m_0 [9]. Полученные отличия в величинах m^* , возможно, объясняются такими различиями в неупорядоченности, которые могут существенно влиять на корректность введения понятия m^* как свойства материала, а не свойства образца [21].

Проведенные исследования многослойных периодических структур $a\text{-Si:H}/a\text{-SiN}_x\text{H}$ позволили установить связь свойств слоев с толщинами слоев и составом, на этой основе показали возможность получения структур с рядом заданных свойств.

Авторы благодарны Н.П.Казановой, Н.В.Лыковой и В.Павлову за помощь в проведении эксперимента и расчетов.

Список литературы

- [1] T. Tiedje, B. Abeles. Appl. Phys. Lett., **45**, 179 (1984).
- [2] M. Tsukude, S. Akamatsu, S. Miyazaki, M. Hirose. Japan. J. Appl. Phys., **26**, L111 (1987).
- [3] B. Abeles. Superlatt. Microstruct., **5**, 473 (1989).
- [4] D.I. Bylenko, Y.N. Galishnikova, A.A. Jarkova, O.Y. Koldobanova, I.B. Mysenko, E.I. Khasina. Proc. Int. Semicond. Dev. Res. Symp. (1991) p. 758.
- [5] Д.И. Биленко, Ю.Н. Галишникова, Э.А. Жаркова, О.Ю. Колдобанова, И.И. Николаева. Письма ЖТФ, **15**, 64 (1989).
- [6] П.Х. Бернинг. Теория и методы расчета оптических свойств тонких пленок, под ред. Р.Хасса (М., 1967) ч. 1, с. 243.
- [7] Ю.П. Ситолите. Литов. физ. сб., **51**, 207 (1986).
- [8] Нитрид кремния в электронике, под ред. А.В.Ржанова (Новосибирск, 1982) p. 200.
- [9] B. Abeles, T. Tiedje. Phys. Rev. Lett., **51**, 2003 (1983).
- [10] F. Demichelis, G. Kamadakis, Thin. Sol. Films, **150**, 1 (1987).
- [11] K. Hattori, T. Mori. Phys. Rev. Lett., **60**, 825 (1988).
- [12] W. Wang, K. Liao. Sol. St. Commun., **62**, 749 (1987).
- [13] M. Vaněcěk, J. Kočka, J. Stuchilík, A. Triska. Sol. St. Commun., **39**, 1199 (1981).
- [14] Д.И. Биленко, Ю.Н. Галишникова, Э.А. Жаркова, О.Ю. Колдобанова, Е.И. Хасина. Микроэлектроника, **18**, 36 (1989).
- [15] Л.А. Балагуров. ФТТ, **31**, 2105 (1989).

- [16] J.P. Xanthakis, S. Papadopoulos, P.R. Mason. *J. Phys. C, Sol. St. Phys.*, **21**, L555 (1989).
- [17] R.A. Street, M.J. Thompson, N.M. Johnson, *Phil. Mag. B*, **51**, 1 (1985).
- [18] J. Kakakios, H. Fritzsche, N. Ibaraki. *J. Non-Cryst. Sol.*, **66**, 339 (1984).
- [19] Л.Д. Ландау, Е.Н. Лифшиц. *Квантовая механика* (М., Наука, 1974).
- [20] *Физика гидрогенизированного аморфного кремния*, под ред. Джоупопулоса и Дж.Люковски (М., 1988).
- [21] *Электронная теория неупорядоченных полупроводников* (М., Наука, 1981).

Редактор Т.А. Полянская
